

Removal of Phenol in Aqueous Solutions Using UV Activated Periodate Process

Abdolmotaleb Seidmohammadi (PhD)¹, Gorban Asgari (PhD)^{1,*}, Mehdi Kamari (MSc)²

¹ Department of Environmental Health Engineering, School of Health, Hamadan University of Medical Sciences, Hamadan, Iran

² Student Research Center, Hamadan University of Medical Sciences, Hamadan, Iran

* **Corresponding Author:** Gorban Asgari, Department of Environmental Health Engineering, School of Health, Hamadan University of Medical Sciences, Hamadan, Iran. Email: asgari@umsha.ac.ir

Abstract

Received: 07/01/2017

Accepted: 05/03/2017

How to Cite this Article:

Seidmohammadi A, Asgari G, Kamari M. Removal of Phenol in Aqueous Solutions Using UV Activated Periodate Process. *Pajouhan Scientific Journal*. 2017; 16(1): 1-9. DOI: 10.18869/acadpub.psj.16.1.1

Background and Objective: Phenol is extensively used in various industries and it is mainly discharged to the environment from their effluents. In this study, the effectiveness of UV activated periodate for removal of phenol in aqueous solutions was investigated.

Materials and Methods: In this research, experiments were conducted in a bench scale stainless steel reactor equipped with a 55W Hg vapor lamp. The effects of operational parameters such as solution pH (3-10), initial phenol concentration (50-500 mg/L), periodate concentration (8-100 mmol/L) were evaluated. Further, ionic strength was changed to study its impact on the performance. The final concentration of phenol and mineralization rate were determined using DR-6000 spectrophotometer (at the wavelength of 500 nm) and COD analysis, respectively.

Results: The findings indicated that the removal of phenol was influenced by different operational parameters. The highest removal rate was obtained at acidic conditions (pH=3), initial periodate concentration of 20 mmol/L and contact time of 60 min, which more than 99.1% of phenol was removed under these optimal conditions. Also, the results showed that maximum COD removal rate was 69% in optimum conditions. It was found that different ionic strengths did not affect the phenol removal rate.

Conclusion: The results indicated that UV activated persulfate process in optimal condition can be used as an alternative technology for treatment of various industrial wastewaters containing phenol.

Keywords: Aqueous Solution; Periodate Activation; Phenol; Ultraviolet

حذف فنل از محلول های آبی با استفاده از فرایند پریودات فعال شده با امواج فرابنفش

عبدالمنعم صید محمدی^۱، قربان عسگری^{۱*}، مهدی کمری^۲^۱ دانشیار، گروه مهندسی بهداشت محیط، دانشکده بهداشت، دانشگاه علوم پزشکی همدان، همدان، ایران
^۲ کارشناس ارشد مهندسی بهداشت محیط، مرکز پژوهش دانشجویان، دانشگاه علوم پزشکی همدان، همدان، ایران

* نویسنده مسئول: قربان عسگری، گروه مهندسی بهداشت محیط، دانشکده بهداشت، دانشگاه علوم پزشکی همدان، همدان، ایران.

ایمیل: asgari@umsha.ac.ir

چکیده

سابقه و هدف: فنل به طور گسترده در صنایع مختلف مورد استفاده قرار گرفته و از طریق پساب به محیط زیست وارد می شود. در این پژوهش اثربخشی فرایند پریودات فعال شده با امواج فرابنفش در حذف فنل از محلول های آبی مورد بررسی قرار گرفته است.

مواد و روش ها: در این مطالعه از یک راکتور از جنس استل ضد زنگ مجهز به یک لامپ بخار جیوه ۵۵ واتی استفاده شد. تاثیر پارامترهای بهره برداری از جمله زمان تماس، pH محلول (۳ تا ۱۰)، غلظت پریودات (۸ تا ۱۰۰ میلی مول بر لیتر)، غلظت اولیه فنل (۵۰ تا ۵۰۰ میلی گرم بر لیتر) و تاثیر تغییرات شدت یونی مورد بررسی قرار گرفت. غلظت نهائی فنل با استفاده از دستگاه اسپکتروفتومتری در طول موج ۵۰۰ نانومتر و میزان معدنی سازی با اندازه گیری COD تعیین شد.

یافته ها: نتایج حاصل از این مطالعه حاکی از تاثیر گذاری پارامترهای مختلف بهره برداری در حذف ماده آلی بود. شرایط بهینه بهره برداری در محیط اسیدی (pH=۳)، غلظت اولیه پریودات برابر با ۲۰ میلی مول بر لیتر و طی زمان ۶۰ دقیقه بود که در این حالت بیشترین کارائی حذف به میزان ۹۹/۱ درصد حاصل شد. نتایج بیانگر حذف ۶۹ درصدی COD در شرایط بهینه بهره برداری بود. همچنین نتایج نشان داد که تغییرات شدت یونی در حذف ماده آلی بی تاثیر بود.

نتیجه گیری: نتایج حاصل از این مطالعه نشان داد که استفاده از فرایند مذکور می تواند به عنوان یک روش مناسب در حذف فنل از محلول های آبی مورد استفاده قرار گیرد.

واژگان کلیدی: پرتو فرابنفش؛ فعال سازی پریودات؛ فنل؛ محلول های آبی

تاریخ دریافت مقاله: ۱۳۹۵/۱۰/۱۸

تاریخ پذیرش مقاله: ۱۳۹۵/۱۲/۱۵

تمامی حقوق نشر برای دانشگاه علوم پزشکی همدان محفوظ است.

مقدمه

حفاظت از محیط زیست از بزرگترین مسائل فراروی بشر در قرن حاضر است که با توسعه شهرها، افزایش جمعیت و گسترش روز افزون صنایع اهمیت کنترل آلاینده های زیست-محیطی بیش از پیش احساس می شود. در این میان پساب های تولیدی از صنایع، عمدتاً حاوی غلظت های گوناگونی از ترکیبات آلی، معدنی و سمی هستند که می بایست پیش از تخلیه به محیط از پساب جداسازی شوند [۱-۳]. فنلیکی از ترکیباتی است که در صنایع مختلف از جمله پتروشیمی، داروسازی، پلاستیک سازی، صنایع تولید و فرآوری چوب، صنایع رنگ و کاغذسازی مصرف فراوان داشته و از طریق پساب این صنایع وارد محیط زیست می شود [۴،۲]. خصوصیات فیزیکوشیمیائی فنل در جدول ۱ بیان شده است. در صورت مواجهه ی انسان با این ماده از طریق پوست،

جدول ۱: ویژگی های فیزیکی و شیمیایی فنل [۴]

اطلاعات	ویژگی
۹۴/۱۱ (گرم بر مول)	وزن مولکولی
بی رنگ تا کمی صورتی	رنگ
مایع جامد کریستالی (W% . ۸H ₂ O)	حالت فیزیکی
۴۳°C	نقطه ذوب
۱۸/۸ °C	نقطه جوش
آروماتیک شدید، تاحدی بیمار کننده، بوی تند و مطبوع	بو
۱/۴۶	ضریب تفکیک

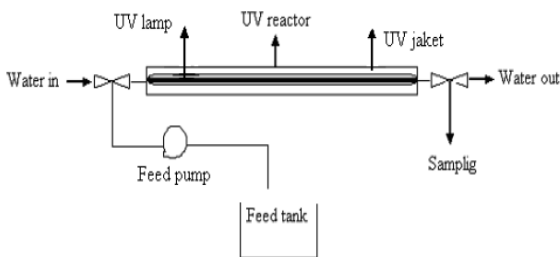
گوارش و تنفس وارد بدن شده و بسته به میزان جذب و مدت زمان اثراتی از جمله تحریک مخاط، سوزش و سوختگی پوستی، تاثیر بر کبد، کلیه ها، ریه ها و سیستم عروقی، خستگی، بی قراری،

واسطه‌های غیر رادیکالی نظیر (H_2O_2 و O_3) تولید می‌شود. حضور چندین نوع رادیکال نشان دهنده برتری آن بر سایر روش‌های اکسیداسیون پیشرفته‌ای است که تنها بر پایه رادیکال‌های خاص نظیر رادیکال سولفات، رادیکال هیدروکسیل، اکسیژن نوزاد و... عمل می‌کنند [۱۹]. با استفاده از این فناوری گستره وسیعی از ترکیبات را با غلظت کم می‌توان از بین برد، و از آن می‌توان برای حذف بسیاری از آلاینده‌ها استفاده نمود [۲۱،۲۰،۱۶]. لذا در این پژوهش امکان‌سنجی حذف فنل با استفاده از پرپودات فعال شده با امواج فرابنفش و تاثیر پارامترهای مختلف بهره برداری مورد بررسی قرار گرفته است.

مواد و روش‌ها

این مطالعه تجربی در آزمایشگاه شیمی آب و فاضلاب دانشکده بهداشت، دانشگاه علوم پزشکی همدان انجام شد. تمامی آزمایشات در مقیاس آزمایشگاهی در یک راکتور استوانه ای بسته از جنس استیل ضد زنگ با حجم مفید ۲/۵ لیتر انجام گرفت. پرتو فرابنفش مورد استفاده در این مطالعه توسط لامپ بخار جیوه کم فشار ۵۵ وات ساخت شرکت فیلیپس هلند که بالغ بر ۹۰ درصد پرتو خروجی آن‌ها در ناحیه 253.7 nm قرار دارد، استفاده شده است. لامپ درون پوشش کوارتزی بسیار شفاف به قطر ۲ سانتی متر در امتداد طول راکتور و به صورت مرکزی در داخل آن قرار داده شد. شکل ۱ شمای کلی راکتور تابش پرتو فرابنفش و تجهیزات بکار رفته و جدول ۲ و ۳ مشخصات راکتور و لامپ را نشان داده است.

فنل، پرپودات سدیم، ۴-آمینوآنتی پیرین، فروسیانات پتاسیم،



شکل ۱: شماتیک راکتور مورد استفاده

جدول ۲: مشخصات راکتور مورد استفاده

طول (cm)	۹۲
قطر (cm)	۷/۶
وزن (Kg)	۴
جنس بدنه	استیل ضد زنگ ۳۰۴
اندازه لوله ورودی و خروجی (in)	۰/۷۵
فشار قابل تحمل (bar)	۵
حجم مفید راکتور (L)	۲/۵
منبع تغذیه	ترانسفورماتور ۲۴۰-۲۱۰ ولت
سیستم هشدار دهنده	چراغ سیگنال

ضعف عضلانی، تهوع، کما و نهایتاً مرگ را به همراه دارد [۵،۶]. اثرات فزاینده سمی و زیست‌محیطی فنل از یک سو و ایجاد طعم و مزه نامطبوع در منابع آب آشامیدنی از سوی دیگر سبب شده است که این آلاینده در گروه آلاینده‌های دارای اولویت طبقه‌بندی شده و مقدار مجاز آن برای آب آشامیدنی و پساب تخلیه شده به محیط به ترتیب $0.1/1$ و 1 میلی گرم بر لیتر باشد [۷]. با هدف حذف فنل روش‌های مختلفی از جمله روش‌های بیولوژیکی، استفاده از فرایندهای غشائی، جذب و... مورد استفاده محققین قرار گرفته شده است [۹-۱۲]. هر چند تاثیر عوامل محیطی از جمله pH، دما، بار آلی، بازدارنده‌های رشد میکروبی برای کارکرد فرایند، جداسازی تنها و عدم حذف کامل و... از جمله معایب روش‌های مورد اشاره به شمار می‌رود.

طی چند دهه اخیر استفاده از فرایندهای اکسیداسیون شیمیایی (AOPs) به دلیل سهولت کاربرد، اقتصادی بودن و کارایی بالا توجه زیادی را در میان محققین زیست محیطی به خود معطوف داشته است. در خلال این واکنش‌ها یک یا چند الکترون از ماده شیمیایی مورد نظر به ماده دیگر که اکسید کننده نامیده می‌شود، منتقل می‌گردد. حذف آلاینده‌ها در فرایند اکسیداسیون پیشرفته بر پایه تولید رادیکال‌های آزاد با قدرت اکسیداسیون بالا با هدف تبدیل ترکیبات شیمیایی آلی به مواد معدنی انجام می‌شود [۱۰]. استفاده از امواج فرابنفش [۱]، امواج فراصوت [۱۳]، ازن [۱۰]، امواج مایکروویو [۱۴] از جمله روش‌های متداول در فرایند اکسیداسیون پیشرفته بشمار می‌روند. در این میان استفاده از امواج فرابنفش بدلیل خصوصیات منحصر بفرد آن از جمله ساده بودن نصب و راه اندازی، هزینه کم و... بیش از سایر روش‌ها مورد توجه قرار گرفته است. در عین حال عیب عمده امواج فرابنفش در حذف ترکیبات آلی پایین بودن راندمان آن است که این عامل را با استفاده توأم از امواج فرابنفش و عوامل اکسیدان از جمله پراکسید هیدروژن [۱]، پرسولفات [۱۵]، پرپودات [۱۶] و عوامل معدنی نظیر آهن و منیزیم [۱۷] با هدف تاثیر گذاری بیشتر تقویت نموده اند. پرپودات (IO_4^-) یکی از جدیدترین انواع اکسیدان‌های مورد استفاده در فرایندهای اکسیداسیون پیشرفته است که در حذف ترکیبات آلی محلول در آب مورد استفاده قرار گرفته است. هر چند پتانسیل اکسیداسیون-احیای آن $1/6$ ولت است اما انتخابی عمل کرده و در اکسیداسیون ترکیباتی که دارای گروه کربونیل یا گروه هیدروکسیل هستند، بطور موثری کاربرد دارد [۱۸،۱۶]. در حضور اشعه فرابنفش واکنش پرپودات با مواد آلی بطور گسترده ای افزایش یافته و قابلیت انتخابی بودن فرایند را به دلیل تولید رادیکال‌های غیرانتخابی مانند رادیکال هیدروکسیل کاهش می‌دهد. در اثر فعال شدن پرپودات توسط اشعه فرابنفش انواع مختلفی از رادیکال‌های بسیار قوی همچون OH^\bullet ، IO_4^\bullet (پریدیل)، IO_3^\bullet (آیدیل) و IO_3^- (آیدات) و انواع

تأثیر تغییرات غلظت اولیه فنل در کارایی فرایند UV/IO_4^-

به منظوره بررسی تأثیر غلظت اولیه فنل، نمونه‌های حاوی غلظت‌های (۱۰۰، ۲۰۰، ۳۰۰، ۴۰۰ و ۵۰۰ میلی‌گرم بر لیتر) فنل در pH و غلظت پرپودات بهینه بدست آمده در مراحل قبلی طی زمان ۶۰ دقیقه درون راکتور تحت تأثیر امواج فرابنفش قرار گرفت.

تأثیر شدت یونی در کارایی فرایند UV/IO_4^-

جهت تعیین تأثیر شدت یونی بر کارایی حذف فنل، تحت شرایط بهینه بهره برداری و غلظت فنل برابر ۱۰۰ میلی‌گرم بر لیتر، از کلرید کلسیم با غلظت‌های ۱، ۵ و ۱۰ میلی‌مول بر لیتر استفاده و میزان حذف آلاینده طی زمان ۶۰ دقیقه مورد بررسی قرار گرفت.

تأثیر پرپودات و اشعه فرابنفش به تنهایی در حذف فنل

به منظور تعیین کارایی پرپودات و اشعه فرابنفش هر یک به صورت مجزا، بعد از بدست آمدن شرایط بهینه نمونه‌ها با غلظت ثابت فنل برابر با ۱۰۰ میلی‌گرم بر لیتر، طی مدت ۶۰ دقیقه یکبار به تنهایی در معرض امواج فرابنفش و یکبار تنها در معرض پرپودات قرار داده شد.

در نهایت و پس از انجام هر مرحله از انجام آزمایشات غلظت فنل باقیمانده بر اساس روش ۵۵۳۰ رنگ سنجی موجود در کتاب استاندارد متد و توسط دستگاه UV/Vis spectrometer-DR 5000 در طول موج ۵۰۰ نانومتر اندازه گیری گردید. همچنین جهت اندازه‌گیری میزان کارایی فرایند در معدنی‌سازی بار آلی نمونه، مقدار کاهش COD در شرایط بهینه و بر اساس دستورالعمل کتاب استاندارد متد با روش ۵۲۲۰ اندازه‌گیری شد [۲۲].

یافته‌ها

نتایج تأثیر pH مختلف در فرایند UV/IO_4^-

نتایج تأثیر تغییرات pH در شرایط اسیدی، خنثی و قلیائی در شکل ۲ نشان داده شده است. بر اساس نتایج ارائه شده در این مرحله از انجام آزمایشات میزان حذف فنل پس از گذشت

جدول ۳: مشخصات لامپ مورد استفاده

لامپ کم فشار بخار جیوه	۵۵W
طول عمر مفید لامپ (h)	۵۰۰۰
حداکثر ناحیه تابش (mm)	۲۵۳/۷
قطر پوشش کوارتز (cm)	۳
طول لامپ (mm)	۹۰۹
قطر لامپ (mm)	۲۶
وزن لامپ (gr)	۲۶
فرکانس (Hz)	۵۰-۶۰
شدت تابش ($\mu\text{w}/\text{cm}$)	۵۰۰۰۰
تعداد لامپ	۱

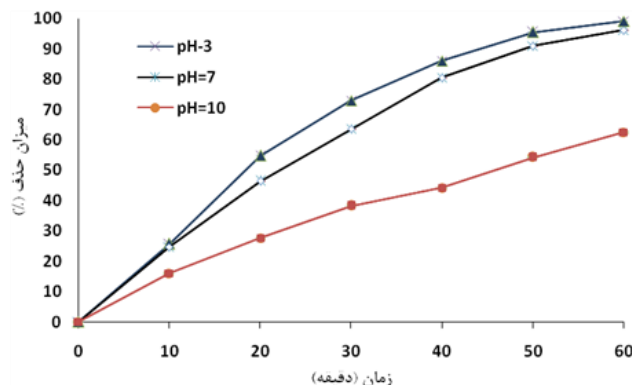
کلرید آمونیوم، مونوفسفات هیدروژن، دی فسفات هیدروژن و کلرید کلسیم با درجه خلوص ۹۸ درصد از شرکت مرک آلمان خریداری و بدون تصفیه مورد استفاده قرار گرفت. برای انجام این پژوهش تأثیر غلظت‌های اولیه فنل، غلظت اولیه پرپودات، زمان تابش، pH، تأثیر ترت بوتانل بر واکنش، تأثیر افزایش شدت یونی بررسی گردید (مراحل انجام آزمایشات در ادامه بیان شده است). در تمامی مراحل از محلول استوک با غلظت ۱۰۰۰ میلی‌گرم بر لیتر فنل استفاده شد. جهت تنظیم pH از هیدروکسید سدیم و اسیدسولفوریک ۰/۱ نرمال استفاده شد.

تأثیر تغییرات pH در کارایی فرایند UV/IO_4^-

جهت بررسی تأثیر pH بر روی فرایند در ناحیه اسیدی، خنثی و بازی، pHهای ۳، ۷ و ۱۰ انتخاب گردید. نمونه‌ها با غلظت ثابت ۱۰۰ میلی‌گرم بر لیتر فنل، غلظت پرپودات برابر با ۸ میلی‌مول بر لیتر آماده شد و طی زمان ۶۰ دقیقه داخل راکتور قرار گرفت.

تأثیر تغییرات غلظت پرپودات در کارایی فرایند UV/IO_4^-

برای تعیین تأثیر غلظت‌های مختلف پرپودات، غلظت‌های ۸، ۲۰، ۵۰، ۸۰ و ۱۰۰ میلی‌مول پرپودات بر لیتر در غلظت ثابت فنل برابر با ۱۰۰ میلی‌گرم بر لیتر و pH بهینه حاصل از مرحله قبل طی زمان ۶۰ دقیقه مورد بررسی قرار گرفت.

شکل ۲: تأثیر pH در فرایند UV/IO_4^- (غلظت پرپودات برابر ۸ میلی‌مول بر لیتر، غلظت فنل برابر با ۱۰۰ میلی‌گرم بر لیتر)

نتایج تاثیر تغییرات غلظت فنل در فرایند UV/IO_4^-

نتایج بررسی تاثیر غلظت‌های متفاوت فنل در مقادیر ۵۰ تا ۵۰۰ میلی گرم بر لیتر در زمان‌های مختلف تابش در شکل ۴ نشان داده شده است. بر اساس نتایج این مرحله از انجام آزمایشات با افزایش غلظت فنل میزان حذف آن کاهش یافته است. بر این اساس و در زمان ۶۰ دقیقه از انجام آزمایشات به ترتیب ۹۹/۹۹، ۹۱/۲، ۸۴/۳۷، ۷۷/۳۸ و ۶۷/۲ درصد در مقدار اولیه غلظت فنل برابر با ۵۰، ۲۰۰، ۳۰۰، ۴۰۰ و ۵۰۰ میلی گرم بر لیتر حذف شده است.

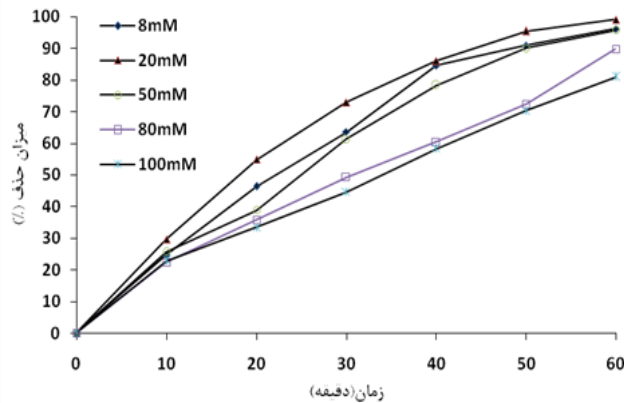
نتایج بررسی کارایی رئاکتور UV و پرپوداتبه تنهایی در حذف فنل

نتایج ارائه شده در شکل ۵ بیانگر میزان حذف فنل با استفاده از اشعه فرابنفش و پرپودات به تنهایی در محیط اسیدی و در زمان ۶۰ دقیقه می‌باشد. بر این اساس کارایی حذف فنل توسط پرپودات در شرایط بهینه راهبری و در شرایطی که پرتو فرابنفش در محیط حضور نداشت در مدت زمان ۶۰ دقیقه ۱۳/۷۷ درصد بود. این در حالی است که ماده آلی فنل توسط پرتوی فرابنفش به میزان ۴۰/۶ درصد و استفاده توأم از امواج فرابنفش و پرپودات در زمان مشابه ۹۹/۱ درصد بود.

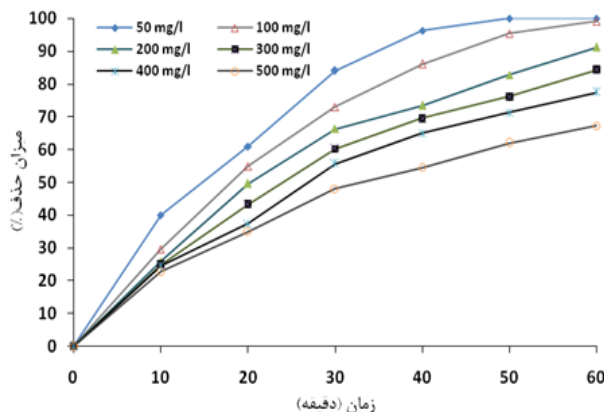
زمان ۶۰ دقیقه در حالت اسیدی ($pH = 3$) برابر با ۹۹/۱ درصد بوده است، این در حالی است که در محیط خنثی ($pH = 7$) این مقدار به ۹۶/۱۸ درصد و در محیط قلیایی ($pH = 10$) همچنین ۶۲/۴۶ درصد کاهش یافته است. همچنین میزان حذف ماده آلی با گذشت زمان افزایش یافته و از ۲۵/۸ درصد در زمان ۱۰ دقیقه در محیط اسیدی به ۹۹/۱ درصد در زمان ۶۰ دقیقه رسیده است.

نتایج تاثیر تغییرات غلظت پرپودات در فرایند UV/IO_4^-

نتایج تغییرات غلظت پرپودات در فرایند UV/IO_4^- در زمان‌های تابش متفاوت در شکل ۳ نشان داده شده است. بر اساس نتایج حاصل تغییرات غلظت ماده اکسید کننده بر کارایی حذف فنل تاثیر گذار بوده است. در غلظت ۸ میلی-مول پرپودات بر لیتر میزان حذف فنل با غلظت اولیه ۱۰۰ میلی گرم بر لیتر در مدت زمان ۶۰ دقیقه و $pH = 3$ برابر با ۹۶/۱۸ درصد بوده است. با افزایش غلظت پرپودات به ۲۰ میلی مول بر لیتر در همین شرایط راندمان حذف فنل به ۹۹/۱ درصد افزایش یافته است. این در حالیست که با افزایش غلظت پرپودات به ۵۰ میلی-مول بر لیتر راندمان حذف کاهش و به ۹۵/۸ درصد رسیده است که بیانگر تاثیر منفی در مقادیر بالای پرپودات بر حذف فنل می‌باشد.



شکل ۳: تاثیر غلظت‌های متفاوت پرپودات در فرایند UV/IO_4^- ($pH=3$)، غلظت فنل برابر با ۱۰۰ میلی گرم بر لیتر)



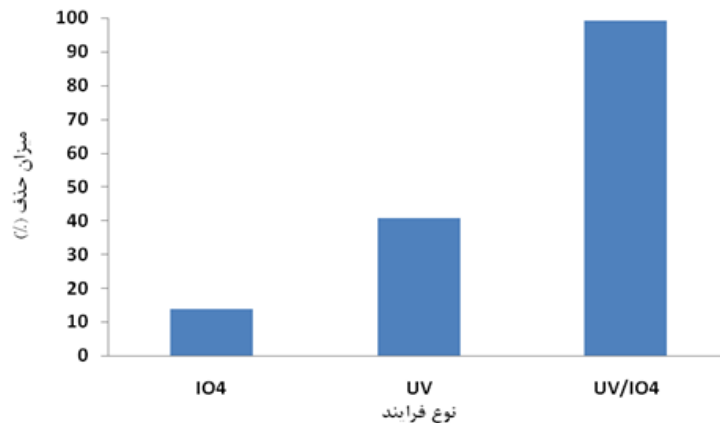
شکل ۴: تاثیر غلظت‌های اولیه فنل در فرایند UV/IO_4^- ($pH=3$)، غلظت پرپودات برابر با ۲۰ میلی مول بر لیتر)

نتایج تاثیر شدت یونی حاصل از کلرید کلسیم

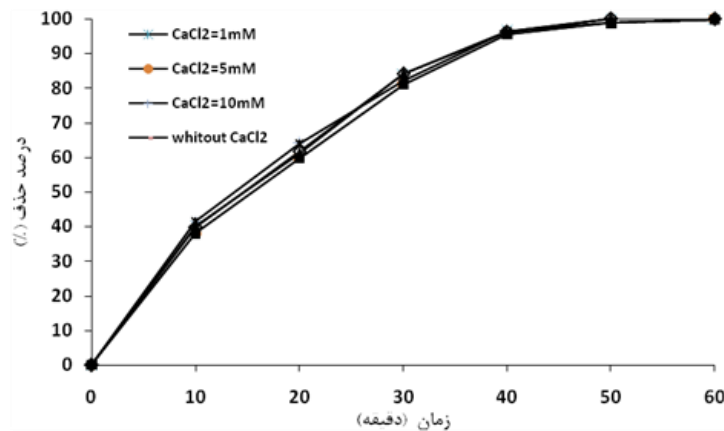
نتایج حاصل از تاثیر شدت یونی حاصل از کلرید کلسیم در شکل ۶ نشان داده شده است. نتایج این مرحله از انجام آزمایشات بیانگر آن بود که تغییرات شدت یونی تاثیری در کاهش یا افزایش راندمان حذف فنل توسط فرایند فعال سازی پریودات توسط امواج فرابنفش نداشته است.

نتایج میزان حذف COD در فرایند UV/IO₄⁻

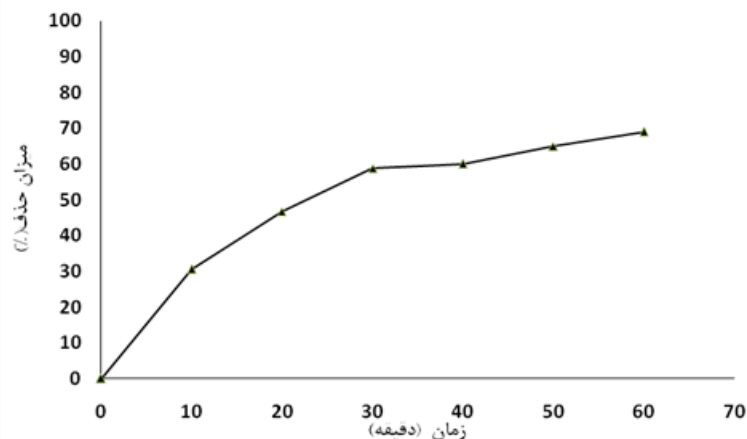
نتایج حاصل از میزان معدنی سازی فرایند در شرایط بهینه بهره برداری در شکل ۷ نشان داده شده است. بر اساس نتایج نشان داده شده در شکل ۷ مقدار حذف COD در شرایط بهینه بهره برداری در زمان‌های ۱۰، ۲۰، ۳۰، ۴۰، ۵۰ و ۶۰ دقیقه به ترتیب برابر با ۳۱، ۴۶، ۵۸، ۶۵ و ۶۹ درصد بوده است.



شکل ۵: مقایسه کارایی حذف فنل در فرایند UV/IO₄⁻، پریودات و پرتو فرابنفش تنهایی (غلظت پریودات برابر با ۲۰ میلی‌مول بر لیتر و غلظت اولیه فنل ۱۰۰ میلی‌گرم بر لیتر، pH=۳)



شکل ۶: مقایسه کارایی حذف فنل در فرایند UV/IO₄⁻ در مقادیر متفاوت کلرید کلسیم



شکل ۷: کارایی حذف COD در شرایط بهینه بهره‌برداری در فرایند UV/IO₄⁻

بحث

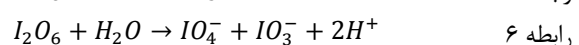
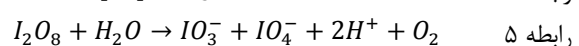
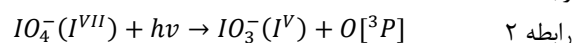
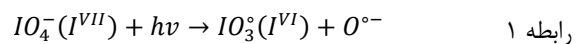
رادیکال هیدروکسیل بیشتر می‌شود، که در نهایت با فنل واکنش داده و سبب افزایش راندمان حذف آن می‌شود. اما با افزایش غلظت پریودات در محیط، راندمان حذف به دلیل درگیر شدن پریودات در واکنش‌های رقابتی با خود طبق رابطه ۴ کاهش می‌یابد، از این رو پریودات می‌تواند به عنوان یک واکنش مختل کننده در تولید رادیکال ئیدروکسیل عمل کند [۱۸، ۱۹]. در همین رابطه، در مطالعه‌ای که Changha Lee و همکاران در حذف رنگ با استفاده از فرایند فعال سازی نوری پریودات انجام دادند، مشخص گردید که حذف رنگ با افزایش غلظت پریودات بطور خطی افزایش می‌یابد. اما تا زمانی که پریودات خود به عنوان مختل کننده رادیکال ئیدروکسیل نباشد [۱۹].

نتایج بررسی تاثیر غلظت‌های مختلف فنل در فرایند UV/IO_4^- نیز بیانگر تاثیر گذاری غلظت اولیه فنل در کارایی حذف آن بوده است به نحوی که با افزایش غلظت ماده اولیه فنل راندمان حذف آن کاهش می‌یابد. تولید محصولات جانبی واکنش پذیرتر از فنل با رادیکال‌های موجود در واکنش و کاهش احتمال برخورد مولکول‌های فنل با عوامل اکسیدکننده در اثر افزایش غلظت فنل دو دلیل اصلی کاهش سرعت واکنش در غلظت‌های بالای فنل و در نهایت کاهش تجزیه فنل در مدت زمان ۱ ساعت می‌باشد [۲۴، ۲۳]. همچنین نتایج تاثیر اشعه فرابنفش و پریودات در شرایط بهینه بهره‌برداری بیانگر عدم کارایی این دو پارامتر بصورت مجزا در حذف فنل بوده است. بر اساس نتایج ارائه شده در شکل ۵ به ترتیب ۴۰/۶ و ۱۳/۸ درصد فنل در مدت زمان ۶۰ دقیقه حذف شده است. تولید کم رادیکال هیدروکسیل ناشی از تاثیر امواج فرابنفش دلیل اصلی کم بودن کارایی حذف فنل در حضور امواج فرابنفش می‌باشد. این نتایج با مطالعه موحدیان و همکاران که میزان حذف ۴-کلروفنل را در حضور اشعه فرابنفش ۴۰ درصد بیان نموده اند مطابقت دارد [۱].

آب‌های طبیعی و تمامی فاضلاب‌ها همگی محتوی ترکیبات و یون‌های متفاوتی هستند که در صورت ایجاد پلاکتريکی در این محیط‌های آبی، یون‌های موجود مسبب انتقال جریان الکتریکی بین اینپلمی گردند. هر چقدر قدرت یونی اینگونه‌ها بزرگتر باشد، انتقال جریان افزایش می‌یابد. بر اساس نتایج ارائه شده در شکل ۶ طی مدت ۶۰ دقیقه و در شرایط بهینه بهره‌برداری، در غلظت‌های مختلف کلرید کلسیم راندمان حذف فنل در فرایند بدون تغییر بود. لذا نتایج بیانگر آن بود که تغییرات شدت یونی تاثیری در فرایند حذف فنل نداشته است. نتایج حاصل با نتایج ارائه شده توسط صیدمحمدی و همکاران در سال ۲۰۱۴ و ۲۰۱۶ که بر روی حذف ۴ و ۲ کلروفنل با استفاده از امواج فراصوت و اشعه فرابنفش انجام دادند، مطابقت دارد [۲۶، ۲۵].

جهت بررسی کارایی فرایند در مقیاس محیطی علاوه بر

سرعت واکنش‌های شیمیایی به pH محیط وابسته بوده و بصورت مستقیم و غیر مستقیم بر اکسیداسیون مواد آلی تاثیر گذار است. در واکنش‌های اکسیداسیون فتوشیمیایی نیز pH از طریق تاثیر بر تولید رادیکال‌ها بر راندمان اکسیداسیون تاثیرگذار است [۱]. نتایج ارائه شده در شکل ۲ بیانگر تاثیر pH بر عملکرد فرایند بوده است. بر اساس روابط ۱ تا ۶، فرایند فتواکسیداسیون در حضور پریودات از دو مسیر در تولید رادیکال‌های پریدیل (IO_4) و آیدیل (IO_3) تاثیر گذار است. لازم به ذکر است که در این بین رادیکال هیدروکسیل و واسطه های غیر رادیکالی نظیر ازن نیز حاصل می‌شود. در pH ۱ تا ۸ عامل اصلی اکسیداسیون پریودات (IO_4^-) است، تجزیه کندتر پریودات در pH=۷ نسبت به pH=۳ منجر به تولید مجدد پریودات می‌شود. در این میان رادیکال پریدیل (IO_4) و آیدیل (IO_3) می‌تواند مجدداً به پریودات و آیدات احیا شوند [۱۹، ۱۸].



با افزایش pH از ۳ محیط اسیدی به خنثی و بر اساس روابط فوق الذکر کاهش رادیکال‌های موجود در محیط واکنش اتفاق افتاده و موجبات افت کارایی تجزیه فنل می‌شود. علاوه بر علت فوق، کاهش قابل توجه راندمان تجزیه فنل در pH=۱۰ را می‌توان به حضور ترکیبات غالب $H_3IO_6^{2-}$ و $H_4I_2O_{10}^{4-}$ در شرایط قلیایی نسبت داد، که در مقایسه با pH‌های ۳ و ۷ دارای مکانیسم فتولیز و جذب پرتو متفاوت می‌باشند [۱۸، ۱۶]. در مطالعه ای که Tang و همکاران در حذف TOC ناشی از عوامل شیمیایی ناشی از جنگ توسط فرایند فعالسازی نوری پریودات انجام دادند به این نتیجه دست یافتند که pH نقش مهمی در حذف TOC دارد و با کاهش pH راندمان حذف افزایش می‌یابد که با نتایج تحقیق حاضر مطابقت دارد [۲۳]. تغییرات غلظت ماده اکسید کننده از جمله عوامل تاثیر گذار در فرایند اکسیداسیون پیشرفته است. در این راستا تغییرات غلظت پریودات در مقادیر ۸ تا ۱۰۰ میلی‌مول بر لیتر در کارایی حذف ماده آلی مورد بررسی قرار گرفت که نتایج در شکل ۴ بیان شده است. نتایج نشان داد که با افزایش غلظت از ۸ به ۲۰ میلی‌مول بر لیتر راندمان حذف افزایش یافته است. این در حالیست که با افزایش غلظت پریودات به ۵۰ میلی‌مول بر لیتر راندمان حذف کاهش و به ۹۵/۸ درصد رسیده است. در غلظت‌های کم پریودات، فتولیز پریودات افزایش می‌یابد که منجر به تولید

حذف ماده آلی حکایت داشت، به نحوی که بیشترین کارایی حذف در محیط اسیدی حاصل شد. ثانیاً غلظت عامل اکسید کننده یکی دیگر از عوامل موثر بر کارکرد فرایند در حذف ماده آلی بود هر چند با افزایش غلظت ماده اکسید کننده بیش از مقدار بهینه کارایی حذف کاهش یافت. ثالثاً میزان حذف ماده آلی به غلظت اولیه ماده آلی بستگی داشت و با افزایش ماده آلی راندمان حذف تدریجاً کاهش یافت. همینطور تاثیر تغییرات شدت یونی ناشی از حضور کلرید کلسیم بر روی کارایی حذف فنل توسط فرایند بی تاثیر بود. نهایتاً، میزان معدنی سازی در این فرایند ۶۹ درصد بود در حالی که میزان حذف ماده آلی ۹۹/۱ درصد در غلظت ۱۰۰ میلی گرم بر لیتر فنل بود.

تشکر و قدردانی

این پژوهش با استفاده از منابع مالی معاونت پژوهشی دانشگاه علوم پزشکی همدان به انجام رسیده است که نویسندگان مقاله از همکاری آن معاونت کمال تشکر را دارند.

تضاد منافع

این مطالعه برای نویسندگان هیچ گونه تضاد منافی به همراه نداشته است.

REFERENCES

- Movahedyan H, Seid Mohammadi AM, Assadi A. Comparison of different advanced oxidation processes degrading p-chlorophenol in aqueous solution. Iranian Journal of Environmental Health Science Engineering. 2009; 6(3):153-60.
- Seid Mohammadi A, Asgari Gh, Movahedian Attar H, Sharifi Z. Application of several advanced oxidation processes for degradation of 4-chlorophenol from aqueous solution. International Journal of Environmental Health Engineering. 2013; 2(3): 1-8. DOI: 10.4103/2277-9183.122423
- Busca G, Berardinelli S, Resini C, Arrighi L. Technologies for the removal of phenol from fluid streams: a short review of recent developments. Journal of Hazardous Material. 2008; 160 (2-3): 265-88. DOI:10.1016/j.jhazmat.2008.03.045
- Silva PJ. Inductive and Resonance Effects on the Acidities of Phenol, Enols, and Carbonyl α -Hydrogens. Journal of Organic Chemical. 2009; 74 (2): 914-6. DOI:10.1021/jo8018736
- Lin TM, Lee SS, Lai CS, Lin SD. Phenol burn- Burns. Journal of the International Society for Burn Injuries. 2006; 32 (4): 517-21. DOI: http://dx.doi.org/10.1016/j.burns.2005.12.016
- Berlon N, Qi R, Sharma-Kuinkel B, Joo HS, Park LP, George D et al. Clinical MRSA isolates from skin and soft tissue infections show increased in vitro production of phenol soluble modulins. Journal of Infection. 2015; 71(4): 447-457. DOI:10.1016/j.jinf.2015.06.005
- United States Environmental Protection Agency. National Recommended Water Quality Criteria. 2005.
- World Health Organization. Guidelines for drinking-water quality, fourth edition. 2011.
- Asgari Gh, Seid Mohammadi A, Ebrahimi A. Adsorption of phenol from aqueous solution by modified zeolite with FeCl₃. International Journal of Environmental Health Engineering. 2012; 1(7): 1-8. DOI: 10.4103/2277-9183.107915
- Qu X, Zheng J, Zhang Y. Catalytic ozonation of phenolic

حذف آلاینده مورد نظر، کاهش میزان بارآلودگی آلی نیز مطرح است. آزمایشات مختلفی در این راستا وجود دارد که تعیین کننده میزان معدنی سازی فرایند می باشد. از آزمایشات سریع، ارزان و نسبتاً دقیق، تعیین میزان معدنی سازی و آزمایش کاملتر در این زمینه اندازه گیری COD می باشد. همان طور که در شکل ۷ نشان داده شده است، در فرایند فعال سازی پرپودات توسط امواج فرابنفش و در شرایط بهینه بهره برداری در زمان ۶۰ دقیقه ۶۹ درصد COD کاهش یافته است. علت اینکه میزان کاهش COD با کارایی حذف فنل در شرایط یکسان بهره برداری برابر نیست، این است که طی فرایند اکسیداسیون فتوشیمیایی فنل به طور کامل به آب و دی اکسید کربن تبدیل نمی شود بلکه ابتدا به کتکول تبدیل شده و سپس به آب و دی اکسید کربن تبدیل می شود. به این ترتیب ماده واسط کتکول مصرف کننده اکسیژن است و موجب افزایش COD محلول می شود [۲۷].

نتیجه گیری

این پژوهش به منظور بررسی کارایی فرایند فعال سازی پرپودات در حضور اشعه فرابنفش در حذف فنل و تاثیر شرایط بهره برداری انجام شد که نتایج کلی این پژوهش بدین شرح می باشد. اولاً نتایج این مطالعه از تاثیر گذاری pH محلول در

- wastewater with activated carbon fiber in a fluid bed reactor. Journal of Colloid Interface Sciences. 2007; 309(2): 429-34. DOI:10.1016/j.jcis.2007.01.034
- Hasanoğlu A. Removal of phenol from wastewaters using membrane contactors: Comparative experimental analysis of emulsion pertraction. Desalination. 2013; 309: 171-80. DOI: 10.1016/j.desal.2012.10.004
- Pradeep NV, Anupama S, Navya K, Shalini HN, Idris M, Ampannavar US. Biological removal of phenol from wastewaters: a mini Review. Applied Water Science. 2015; 5 (2): 105-12. DOI 10.1007/s13201-014-0176-8
- Seidmohammadi A, Asgari Gh, Torabi L. Removal of Metronidazole using ozone activated persulfate from aqua solutions in presence of ultrasound. Journal of Mazandaran University of Medical Sciences. 2016; 26 (143): 160-73. (Peraian)
- Asgari Gh, Seidmohammadi A, Chavoshani A. Pentachlorophenol removal from aqueous solutions by microwave/persulfate and microwave/H₂O₂: a comparative kinetic study. Journal of Environmental Health Science & Engineering. 2014; 12: 94. doi: 10.1186/2052-336X-12-94
- Seid-Mohammadi A, Asgari G, Poormohammadi A, Ahmadian M, Rezaeivahidian H. Removal of phenol at high concentrations using UV/Persulfate from saline Wastewater. Desalination and Water Treatment. 2016; 57(42): 19988-19995. http://dx.doi.org/10.1080/19443994.2015.1102770
- Seid-Mohammadi A, Asgari Gh, Poormohammadi A, Ahmadian M. Oxidation of phenol from synthetic wastewater by a novel advance oxidation process: Microwave-assisted periodate. Journal of Scientific and Industrial Research. 2016; 75: 267-72.
- Sharifi Z, Samadi MT, Seid-Mohammadi A, Asgari Gh. Removal of p-chlorophenol from aqueous solution using ultraviolet/zerovalent-iron (UV/ZVI)/persulfate process. Journal of Advanced Environmental Health Research. 2016; 4(1): 1-8. DOI: 10.22102/jaehr.2016.40218
- Chia LH, Tang X, Weavers LK. Kinetics and mechanism of photoactivated periodate reaction with 4-chlorophenol in

- acidic solution. *Environmental Science Technollogy*. 2004; 38(24): 6875-80. DOI: 10.1021/es049155n
19. Lee C, Yoon J. Application of photoactivated periodate to the decolorization of reactive dye: reaction parameters and mechanism. *Journal of Photochemistry and Photobiology A: Chemistry*. 2004; 165(1-3): 35-41. <https://doi.org/10.1016/j.jphotochem.2004.02.018>
 20. Vlessidis AG, Evmiridis NP. Periodate oxidation and its contribution to instrumental methods of micro-analysis—A review. *Analytica Chimica Acta*. 2009; 652 (1-2): 85-127. <https://doi.org/10.1016/j.aca.2009.06.065>
 21. Chemin M, Rakotovelo A, Ham-Pichavant F, Chollet G, Silva Perez D, Michel P et al. Periodate oxidation of 4-O-methylglucuronoxylans: Influence of the reaction conditions Original Research Article. *Carbohydrate Polymers*. 2016; 142 (20): 45-50. <https://doi.org/10.1016/j.carbpol.2016.01.025>
 22. APHA. Standard Methods for the examination of water and wastewater. 21st ed. Washington DC: American public health association; 2005.
 23. Tang X, Weavers LK. Using photoactivated periodate to decompose TOC from hydrolysates of chemical warfare agents. *Journal of Photochemistry and Photobiology A: Chemistry*. 2008; 194(2-3): 212-19. <https://doi.org/10.1016/j.jphotochem.2007.08.014>
 24. Cao MH, Wang BB, Yu HS, Wang LL, Yuan SH, Chen J. Photochemical decomposition of perfluorooctanoic acid in aqueous periodate with VUV and UV light irradiation. *Journal of Hazardous Materials*. 2010; 179 (1-3): 1143-1146. DOI:10.1016/j.jhazmat.2010.02.030
 25. Sidmohammadi A, Asgari G, Almasi H. Removal of 2,4 Di-Chlorophenol Using Persulfate Activated with Ultrasound from Aqueous Solutions. *Journal of Environmental Health Engineering*. 2014; 1 (4) :259-70. (Persian)
 26. Sidmohammadi A, Asgari G, Chavoshi. The investigation of the UV-LED/TiO₂ removing of 2, 4 di-chlorophenol from aqueous solution. *Journal of water and wastewater*. (In Press).
 27. Chiou CH, Juang RS. Photocatalytic degradation of phenol in aqueous solutions by Pr-doped TiO₂ nanoparticles. *Journal of Hazardous Materials*. 2007;149(1):1-7. DOI:10.1016/j.jhazmat.2007.03.035